

Rekapitulation Maxwellgleichungen

$$\nabla \cdot \vec{E} = \frac{\rho}{\epsilon_0}$$

$$\nabla \cdot \vec{B} = 0$$

$$\nabla \times \vec{E} = -\frac{\partial \vec{B}}{\partial t}$$

$$\nabla \times \vec{B} = \mu_0 \left(\vec{j} + \epsilon_0 \frac{\partial \vec{E}}{\partial t} \right)$$

Lorenz-Kraft: $\vec{F} = q \left(\vec{E} + \vec{v} \times \vec{B} \right)$

+ Newtonsches Gesetz + Gravitation

⇒ Gesamte klassische Physik

Rekapitulation Maxwellgleichungen

in der Materie

$$\nabla \cdot \vec{D} = \rho_{\text{frei}}$$

$$\nabla \cdot \vec{B} = 0$$

$$\nabla \times \vec{E} = -\frac{\partial \vec{B}}{\partial t}$$

$$\nabla \times \vec{H} = \vec{j}_{\text{frei}} + \frac{\partial \vec{D}}{\partial t}$$

$$\vec{D} = \epsilon_0 \vec{E} + \vec{P}$$

$$\vec{H} = \frac{1}{\mu_0} \vec{B} - \vec{M}$$

Ch. 5 Wechselstrom & elektrotechnische Anwendungen

- **Wechselstrom, komplexe Darstellung**
- **Einfache Schaltelemente**
- **Leistung des Wechselstromes**
- **Beispiele:**
 - **R-C Schaltkreise und Filter**
 - **Gleichrichter**
- **Transformator**
- **Überlandleitung und Hausleitungsnetz**
- **Drehstrommotor, Tesla-trafo**

Komplexe Zahlen

$$i^2 = -1$$

$$\hat{z} = A \cdot e^{i\varphi} = A \cdot \cos \varphi + i \cdot A \sin \varphi$$

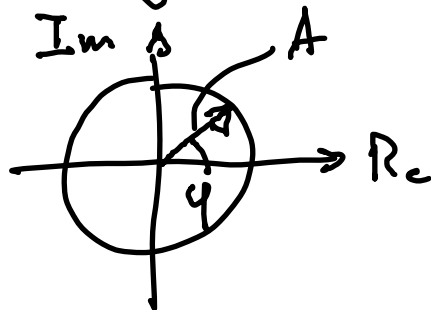
(Amplitude) Betrag A

Phase $\varphi = \varphi(t) = \omega \cdot t + \varphi_0$

Def:

$$\hat{u} := U_0 \cdot e^{i\omega t} = U_0 \cdot \cos(\omega t) + U_0 \cdot i \cdot \sin(\omega t), \quad \varphi_0 = 0$$

Zeigerdiagramm

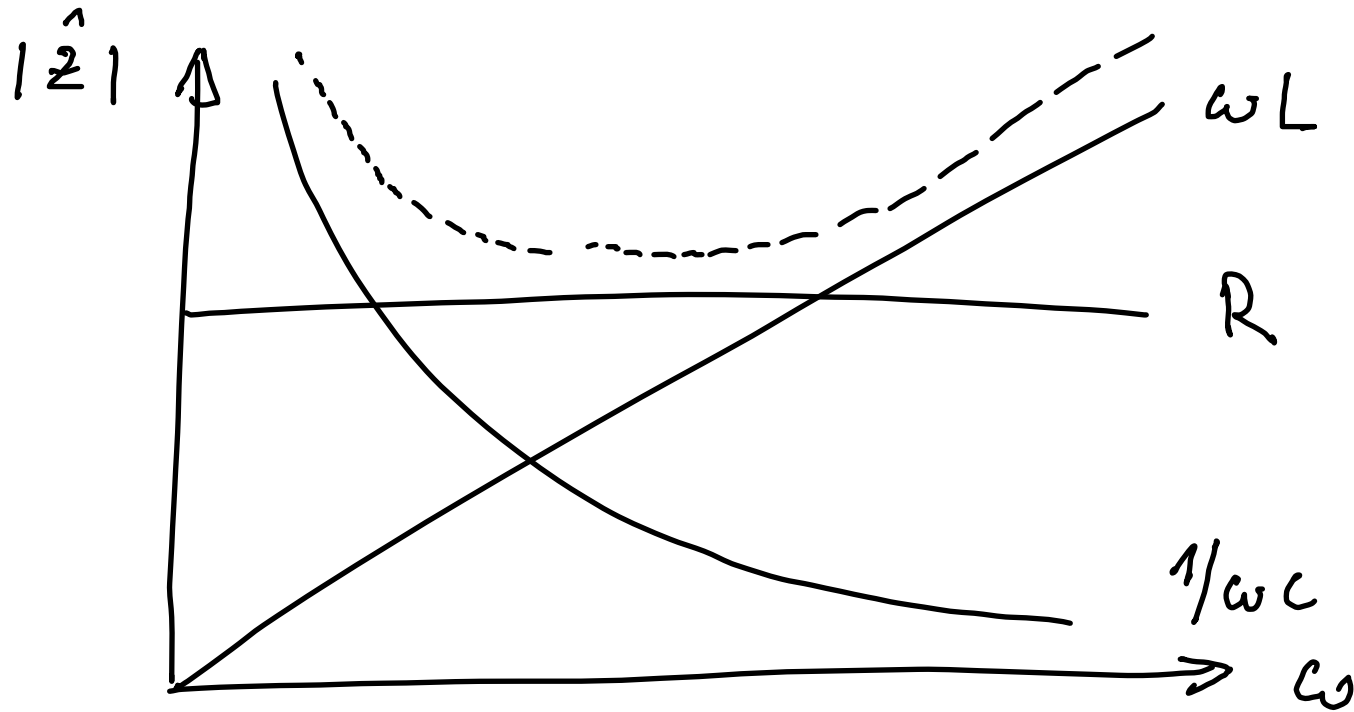


Reale

$$u(t) = \operatorname{Re}(\hat{u}) = U_0 \cdot \cos(\omega t)$$

Frequenzabhängigkeit

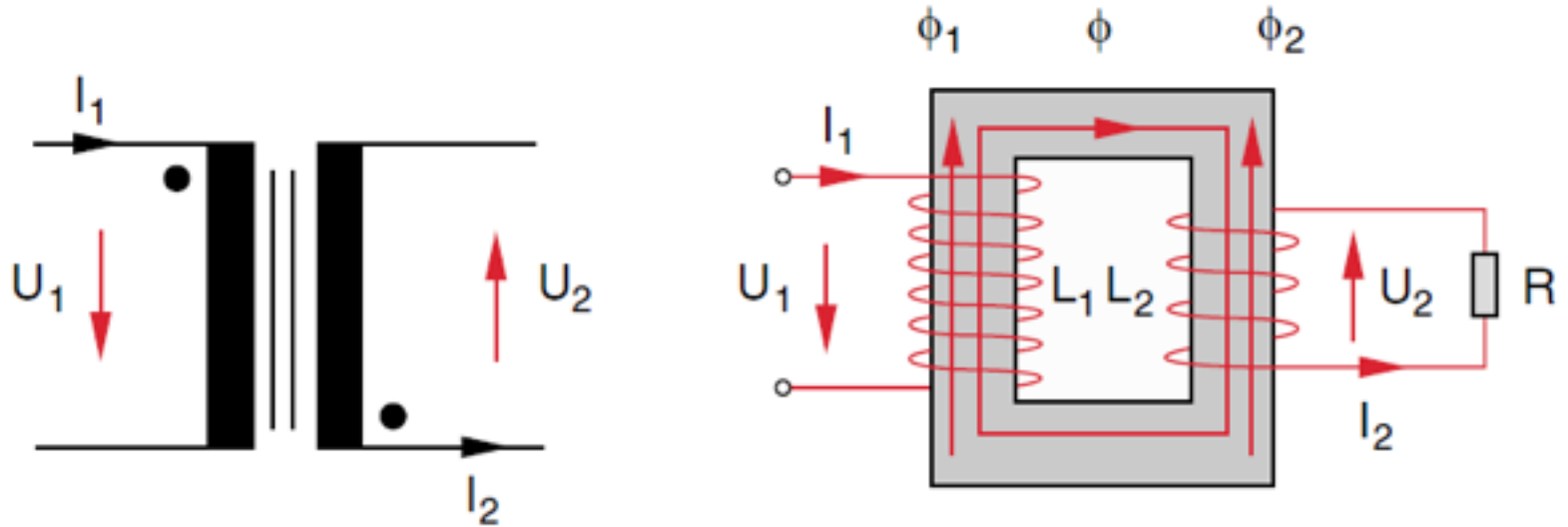
$$\hat{z}_R = R, \quad \hat{z}_L = \omega L$$
$$\hat{z}_C = \frac{1}{\omega C}$$



$$\omega \rightarrow 0 \quad \begin{array}{l} \hat{z}_C \rightarrow \infty \\ \hat{z}_L \rightarrow 0 \end{array}$$

$$\omega \rightarrow \infty \quad \begin{array}{l} \hat{z}_C \rightarrow 0 \\ \hat{z}_L \rightarrow \infty \end{array}$$

Transformator



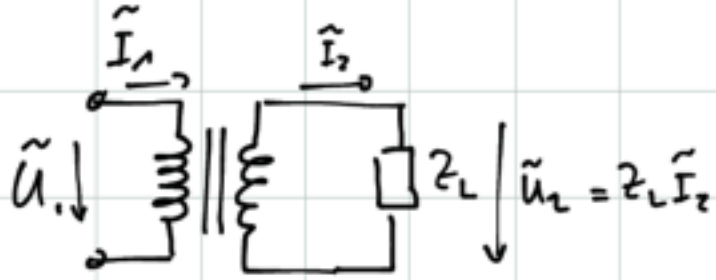
Spannung und Strom am Ausgang (Betrag)

$$\frac{U_2}{U_1} = \frac{N_2}{N_1}$$

$$\frac{I_2}{I_1} = \frac{N_1}{N_2}$$

Belasteter Transformator

c.) Mit Last Z_L ("realer Situation")



Wie vorher:

$$\tilde{U}_1 = L_1 i\omega \tilde{I}_1 + M i\omega \tilde{I}_2 \quad (1)$$

$$\tilde{U}_2 = L_2 i\omega \tilde{I}_2 - M i\omega \tilde{I}_1 = Z_L \tilde{I}_2 \quad (2)$$

$$(2) \rightarrow \frac{\tilde{I}_2}{\tilde{I}_1} = \frac{-i\omega M}{i\omega L_2 + Z_L}$$

$$\frac{(2)}{(1)} \rightarrow \frac{\tilde{U}_2}{\tilde{U}_1} = \frac{Z_L \tilde{I}_2}{L_1 i\omega \tilde{I}_1 + M i\omega \tilde{I}_2} = \frac{Z_L}{L_2 i\omega (i\omega L_2 + Z_L) / (-i\omega M + i\omega M)}$$

$$= \frac{-i\omega M Z_L}{-L_1 L_2 \omega^2 + i\omega Z_L L_1 + M \omega^2} = \frac{-i\omega M Z_L}{i\omega Z_L L_1 + \omega^2 (M^2 - L_1 L_2)}$$

Energie-erhaltung: $\tilde{U}_1 \tilde{I}_1 = \tilde{U}_2 \tilde{I}_2 \rightarrow \frac{\tilde{I}_1}{\tilde{I}_2} = \frac{N_2}{N_1}$

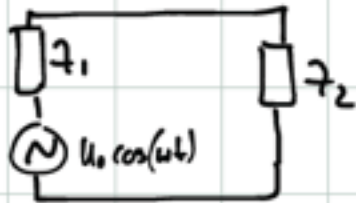
$\kappa = 1 \rightarrow \frac{-M}{L_1} = \sqrt{\frac{L_2}{L_1}} = \frac{-N_2}{N_1}$ ← wenn im Leerlauf für $\kappa=1$?

$$\frac{U_0}{Z_0} = \frac{N_1/N_2}{N_2/N_1} \frac{U_2}{I_2} = \left(\frac{N_1}{N_2}\right)^2 Z_L$$

Impedanz Anpassung

Reale Quellen haben stets eine interne "Eigen-impedanz".

Q: Welches ist die optimale Eigen-impedanz Z_1 um eine Last mit Impedanz Z_2 zu treiben?



$$Z_i = R_i + j(\omega L_i - 1/\omega C_i) \quad ; \quad Z_{tot} = Z_1 + Z_2$$

• eff. Strom durch system: $I_{eff} = U_{eff} / Z_{tot}$

• in Z_2 dissipierte Leistung: $\bar{P}_{el} = I_{eff}^2 R_2 = \frac{U_{eff}^2}{|Z|^2} \cdot R_2$

$$= \frac{U_{eff}^2 \cdot R_2}{(R_1 + R_2)^2 + \underbrace{[\omega(L_1 + L_2) - \frac{1}{\omega}(\frac{1}{C_1} + \frac{1}{C_2})]^2}_{(*)}}$$

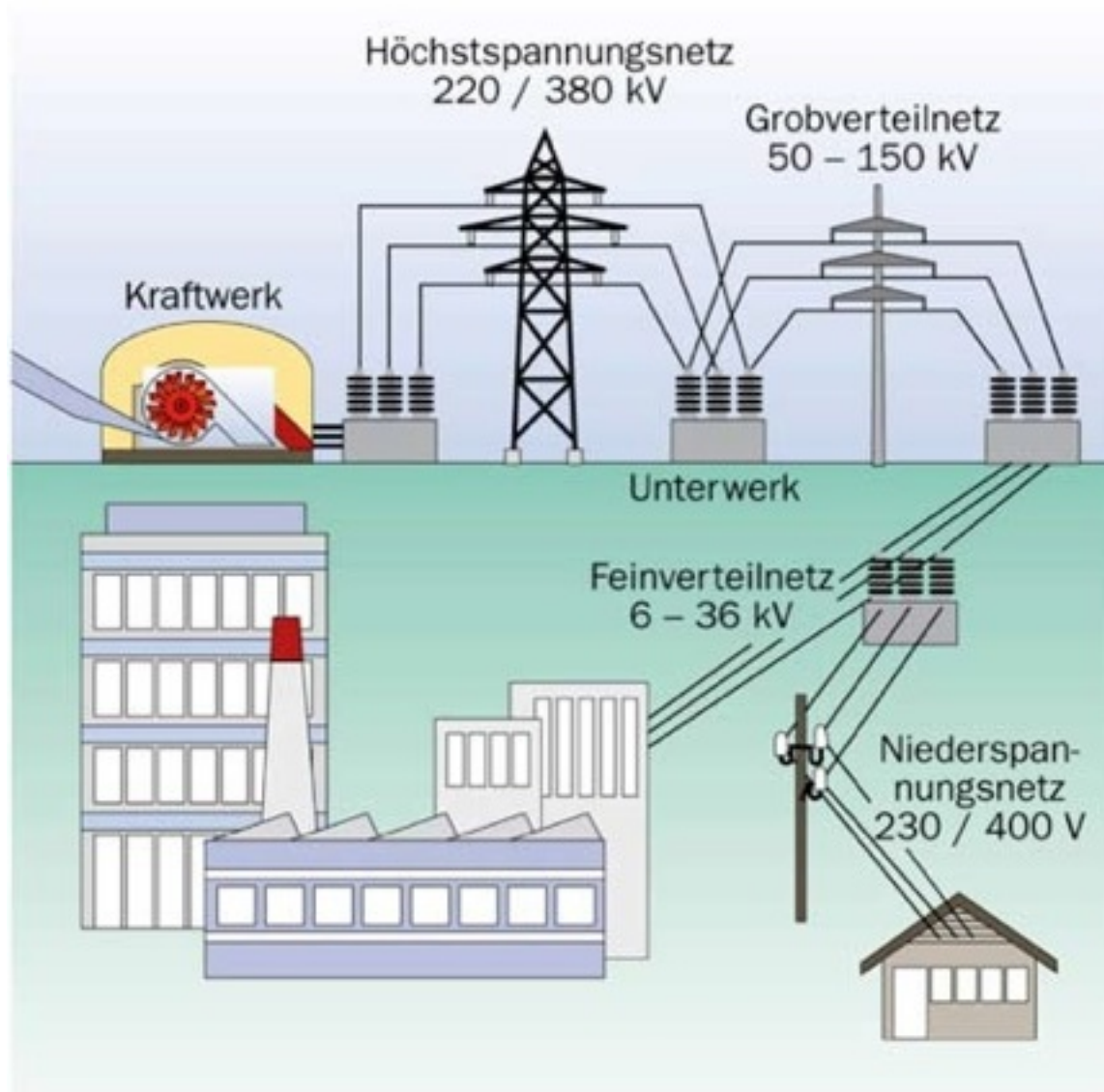
$\Rightarrow \bar{P}_{el}$ maximal wenn $(*) = 0$

Dann: $\bar{P}_{el} = \frac{U_{eff}^2 R_2}{(R_1 + R_2)^2} \rightarrow \frac{d\bar{P}_{el}}{dR_2} = U_{eff}^2 \frac{(R_1 + R_2)^2 - 2R_2(R_1 + R_2)}{(R_1 + R_2)^4} \stackrel{!}{=} 0$

$$\rightarrow \cancel{2R_1 R_2} + R_2^2 - \cancel{2R_1 R_2} - 2R_2^2 = R_1^2 - R_2^2 \stackrel{!}{=} 0 \Rightarrow \underline{\underline{R_1 = R_2}}$$

\Rightarrow Maximale Leistungsübertragung von Quelle zu Verbraucher für $\boxed{Z_1 = Z_2}$

Spannungsnetz



Schweizer Kraftwerke

Mit Leistung > 10 Megawatt (MW)

Wasserkraftwerke

- 10 - 50 MW
- 50 - 100 MW
- 100 - 200 MW
- über 200 MW
- mit Anteil Ausland

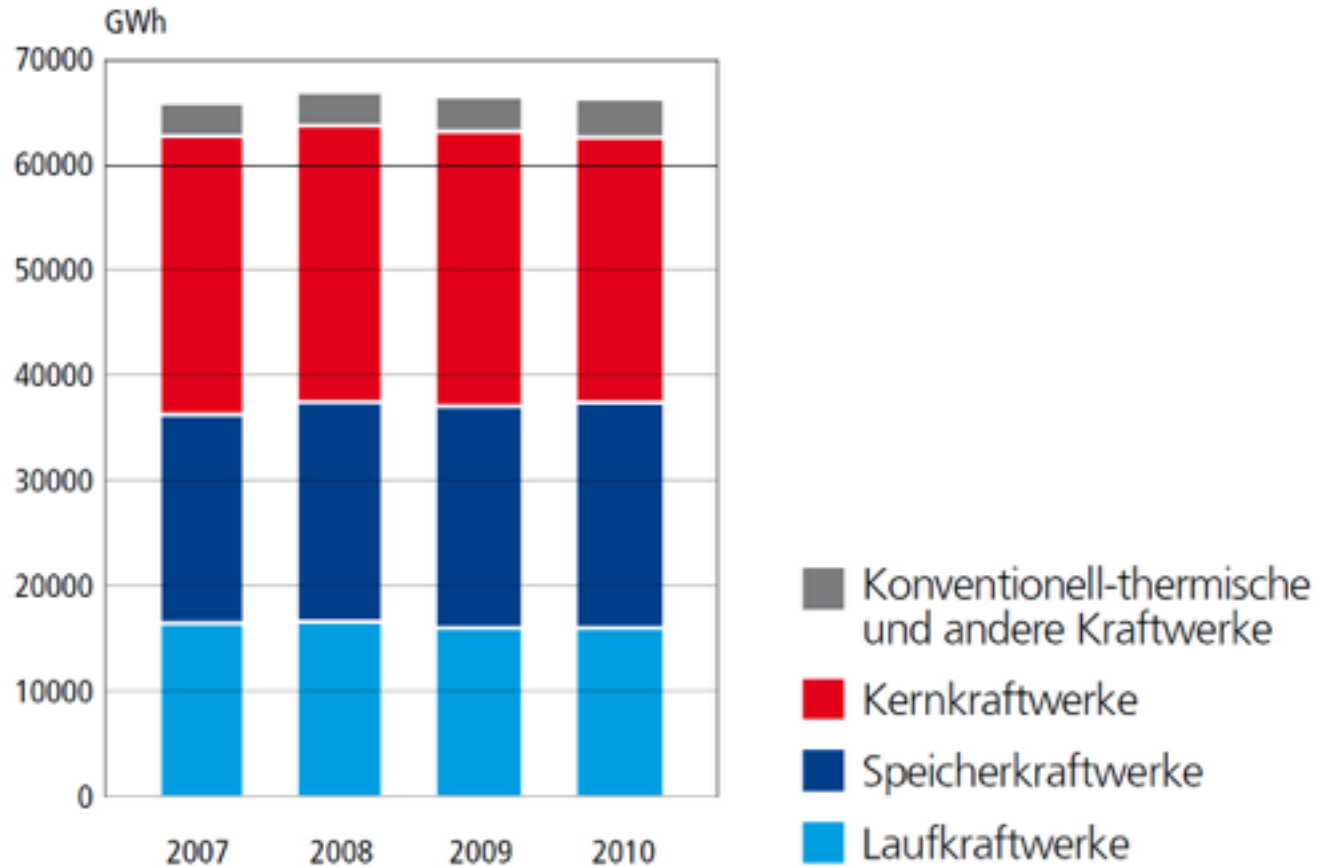
Thermische Kraftwerke

- ▲ Konventionell-thermische Kraftwerke 10-40 MW
- Kernkraftwerke

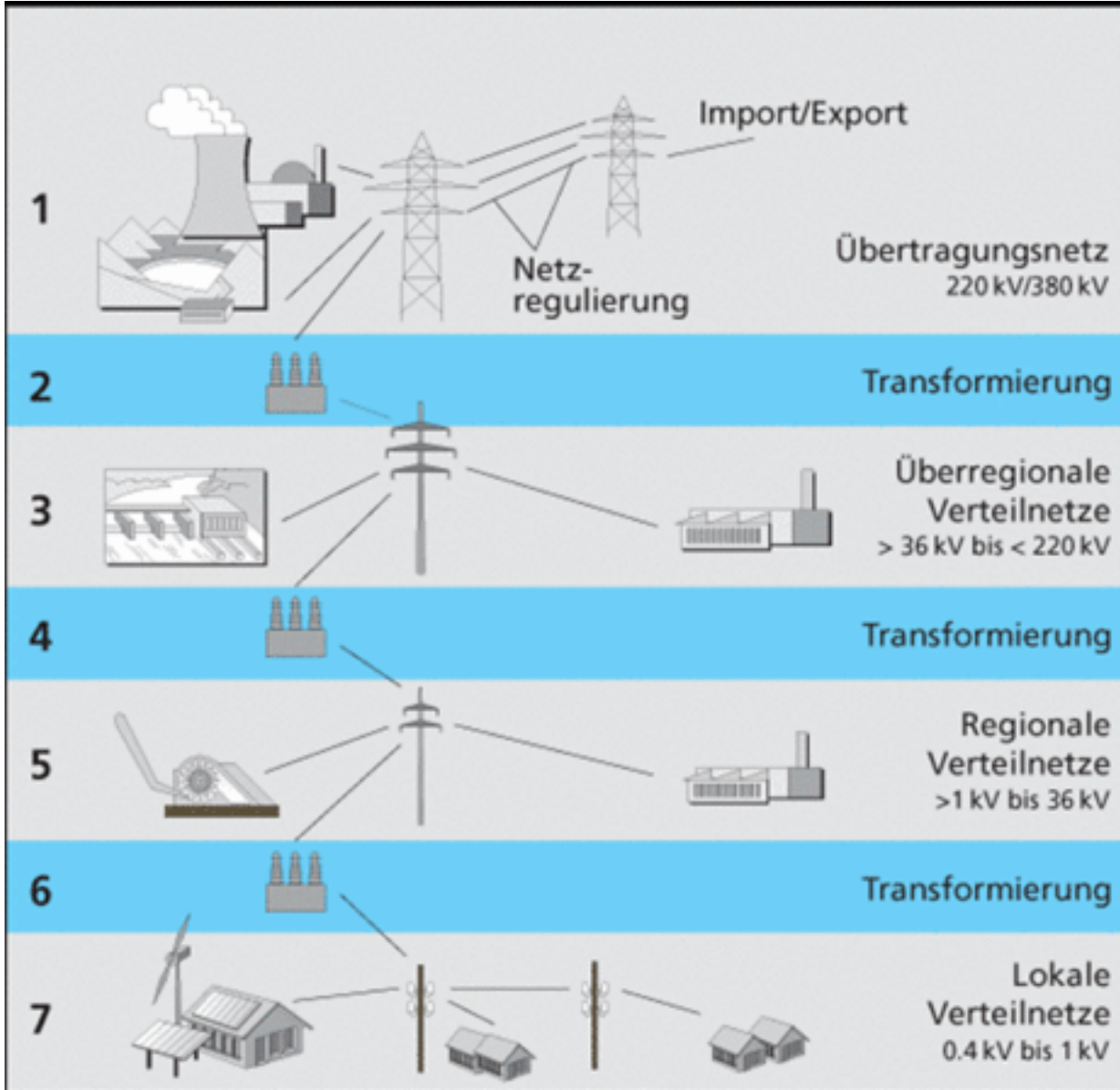
z.B: Kraftwerk Birsfelden
www.kw-birsfelden.ch



Schweizer Stromproduktion nach Kraftwerkstypen (2007-2010)

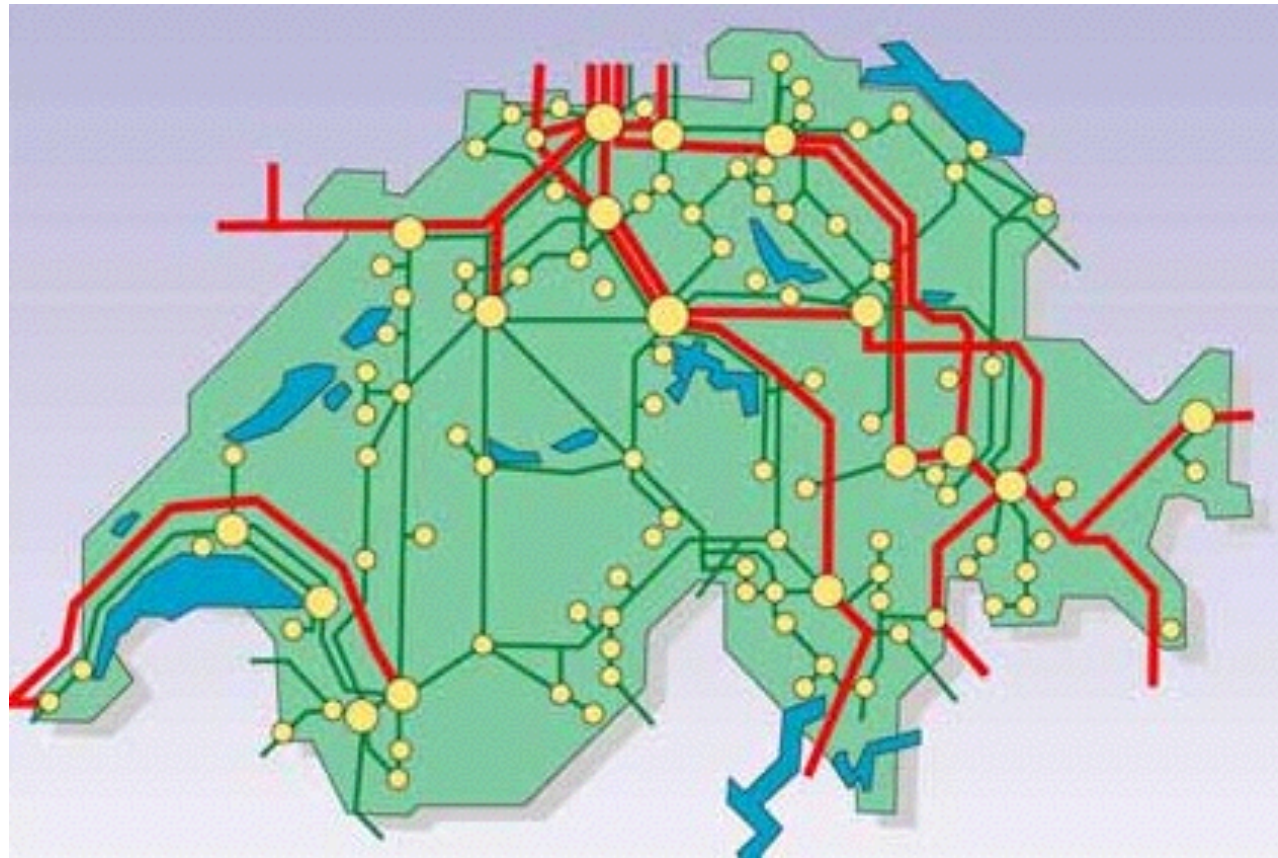


Spannungsnetz



Spannungsnetz

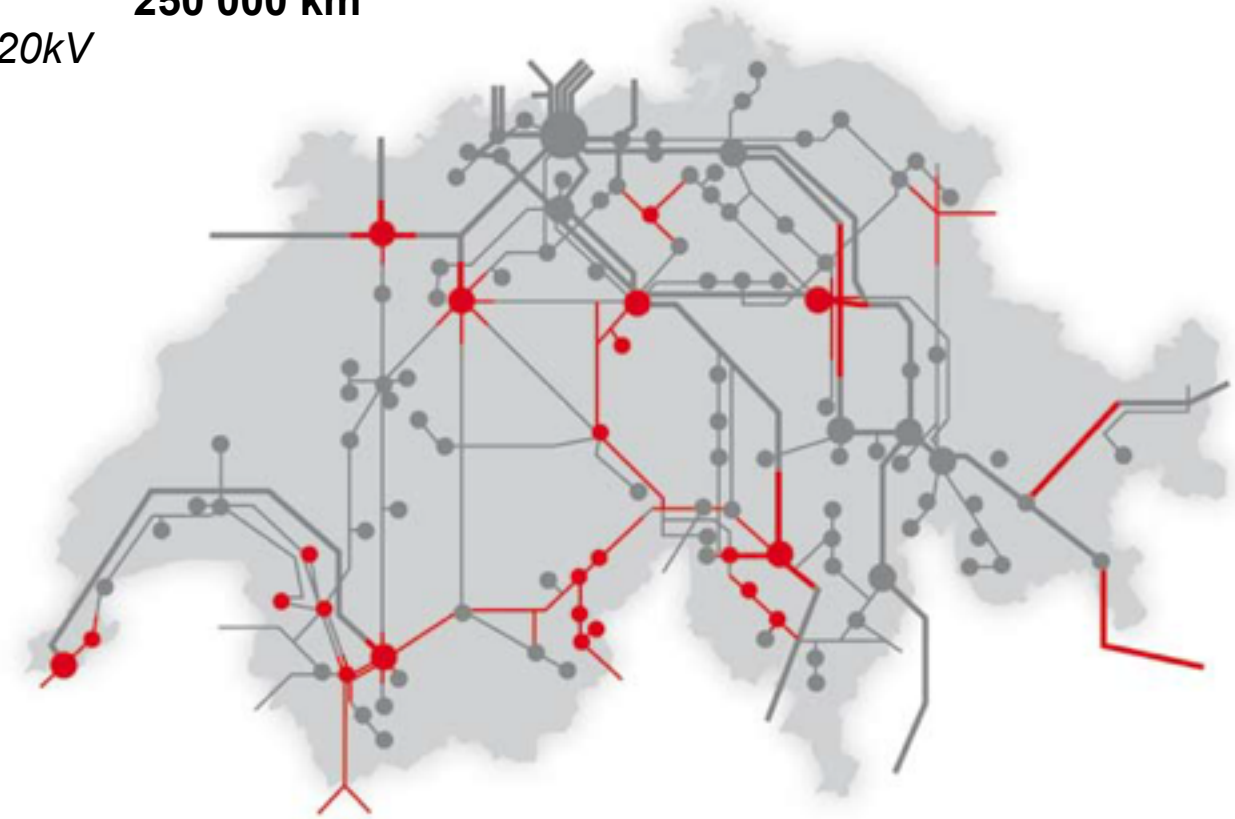
Höchstspannungsnetz 7000 km
International: 220kV / 380kV



Spannungsnetz

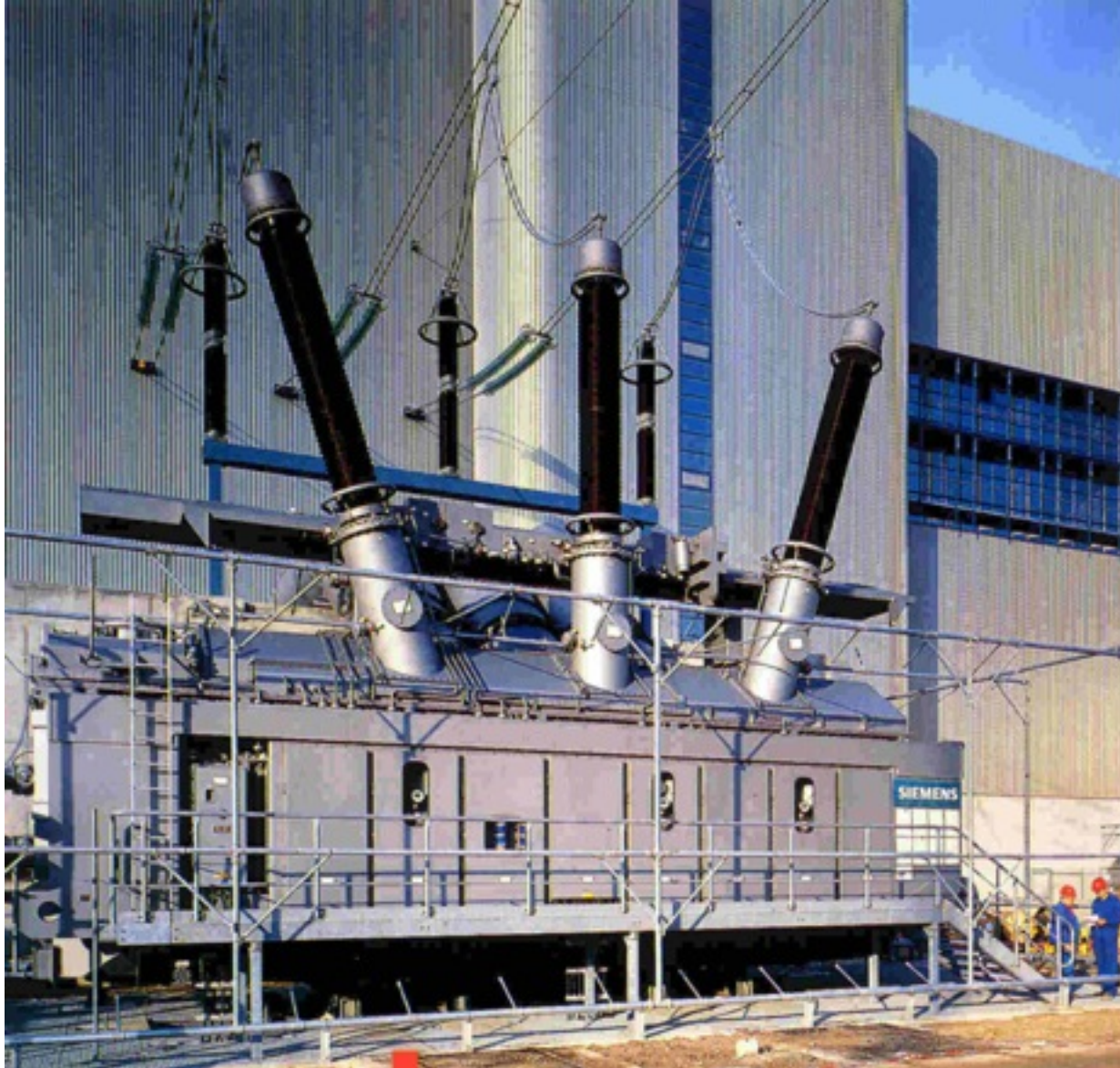
Höchstspannungsnetz 7000 km
International: 220kV / 380kV

Verteilnetze 250'000 km
Überregional: 36kV – 220kV
Regional: 1kV – 36kV
Lokal: 0.4kV – 1kV

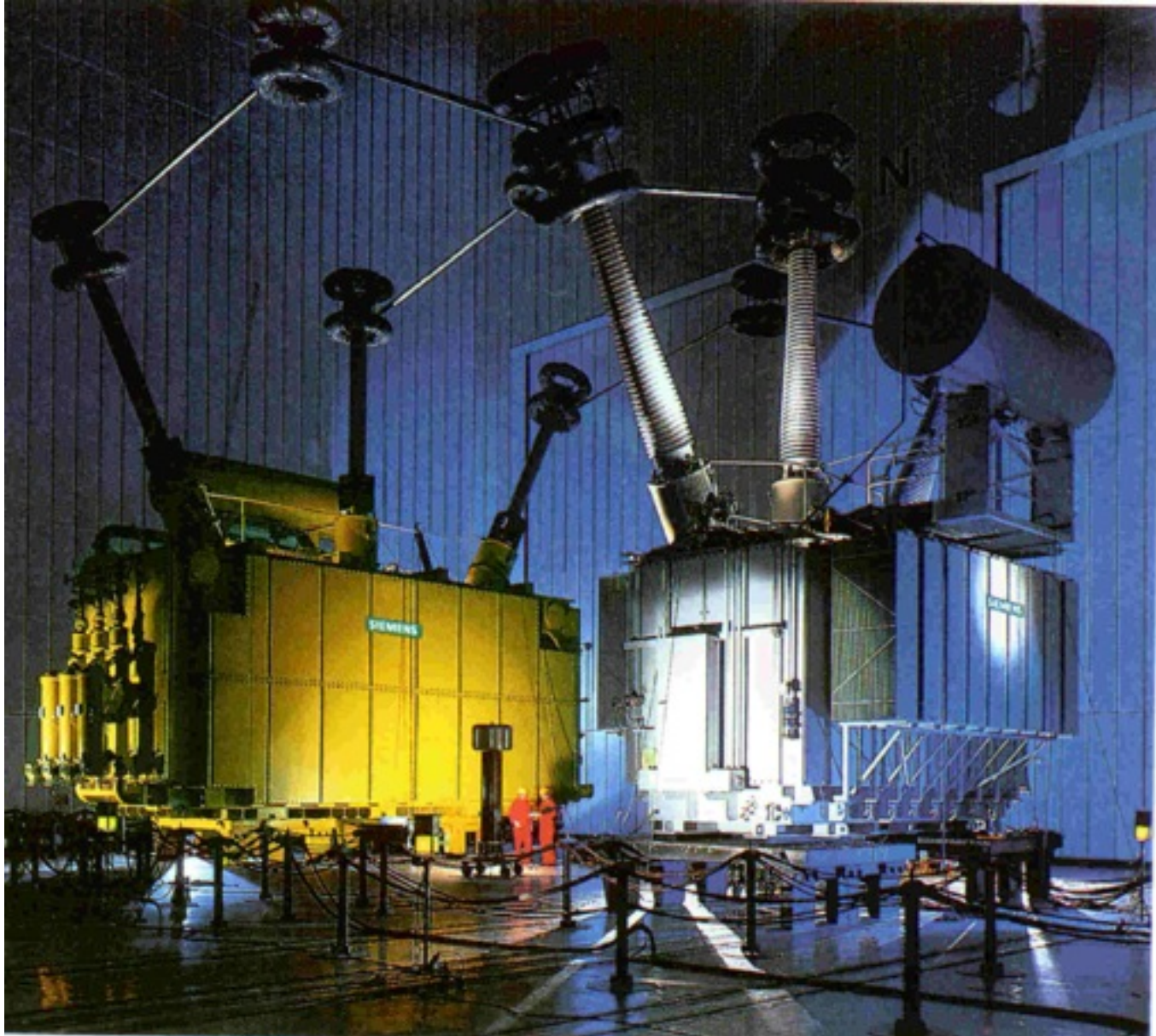


Rot: Netzengpässe

Transformer



Transformer



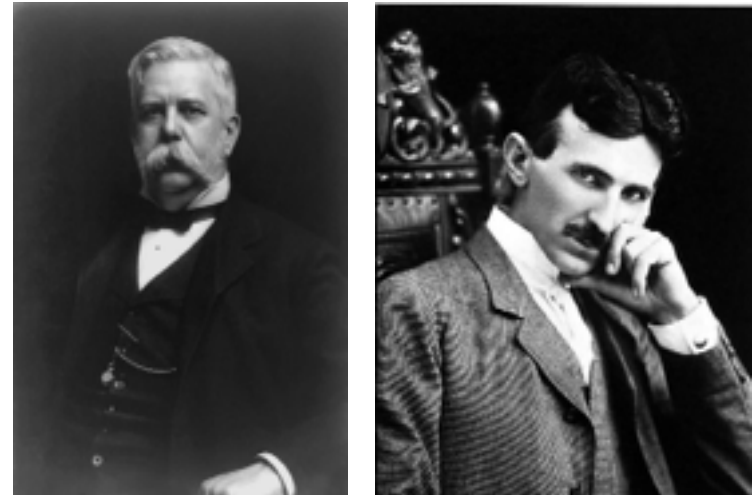
AC vs. DC - “The war of currents”

Thomas Edison, “DC”

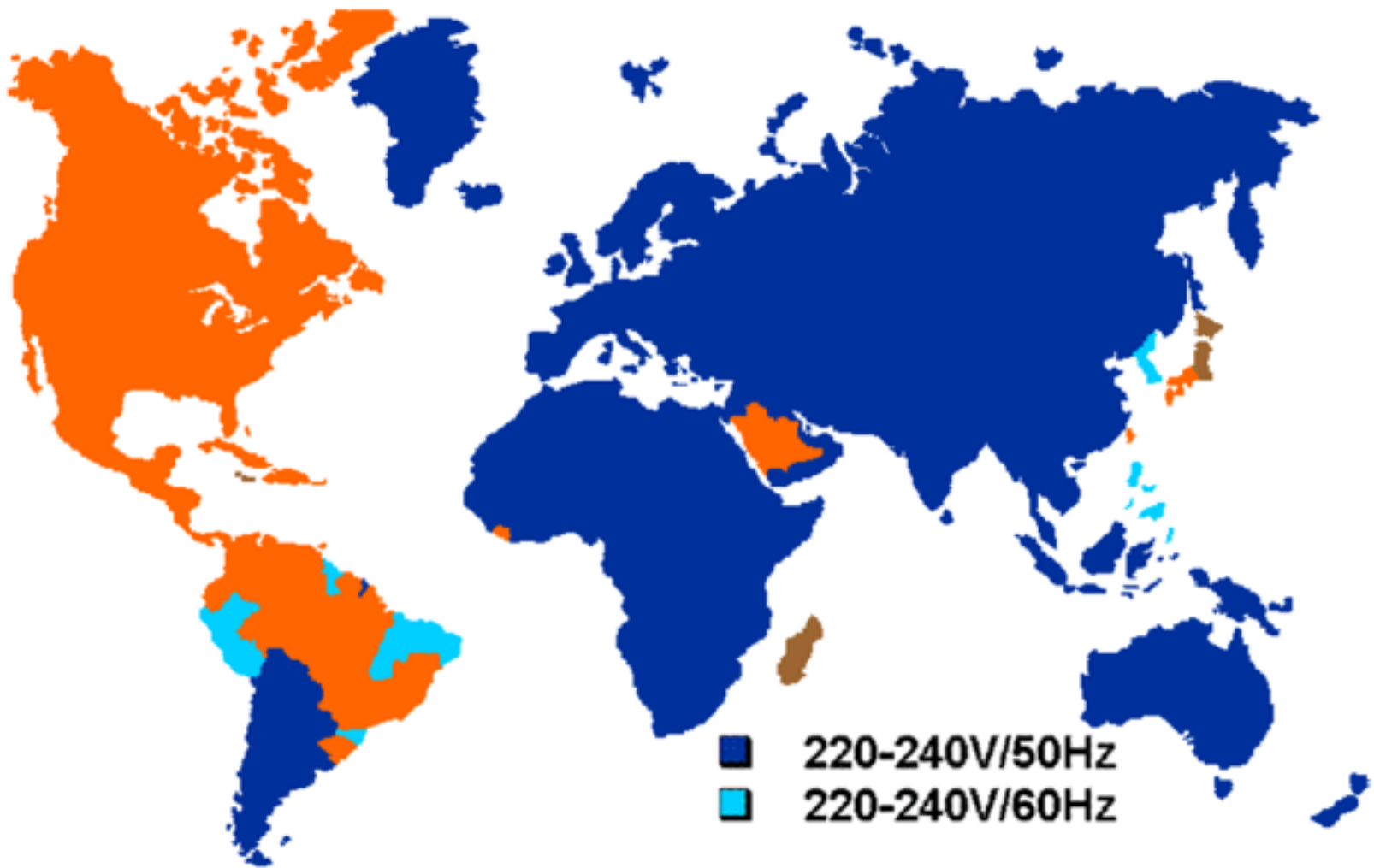


- lange Zeit standard in USA
- Kompatibilität mit Glühlampen und Motoren (keine AC Motoren zu dieser Zeit!)
- Verbraucher erhält Spannung die er braucht
- Distanz Kraftwerk<->Verbraucher <2km

George Westinghouse and Nikola Tesla, “AC”



- Einfache Stannungs-Transformation
- Verlustarme Energieübertragung



Züge: $16 \frac{2}{3}$ Hertz (=50/3)
(USA, auch 25HZ)

- 220-240V/50Hz
- 220-240V/60Hz
- 100-127V/60Hz
- 100-127V/50Hz

Dreiphasenstrom - Drehstrom

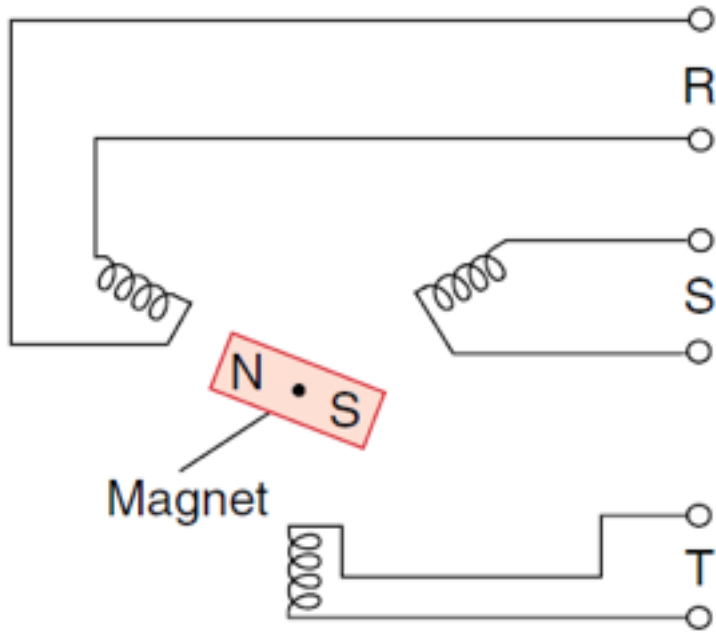


Abb. 5.19. Demonstration des magnetischen Drehfeldes des Drehstroms

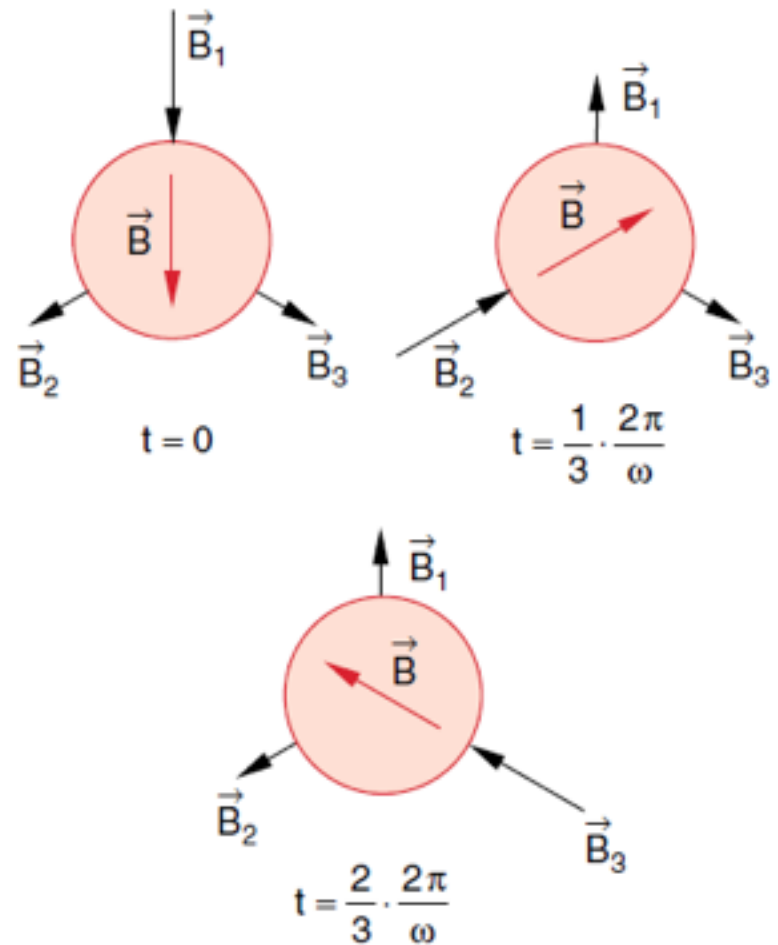
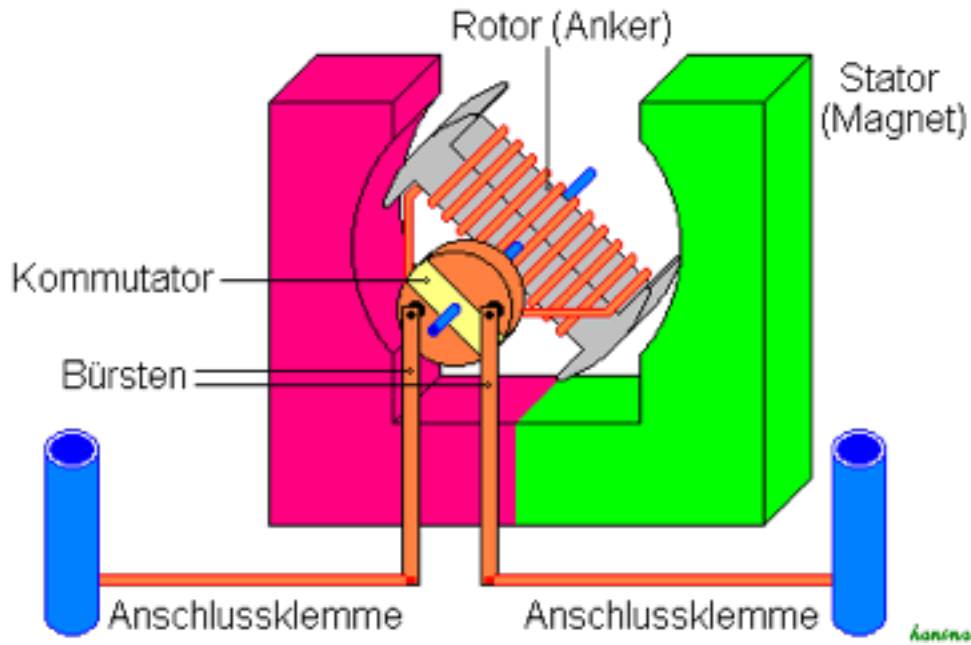
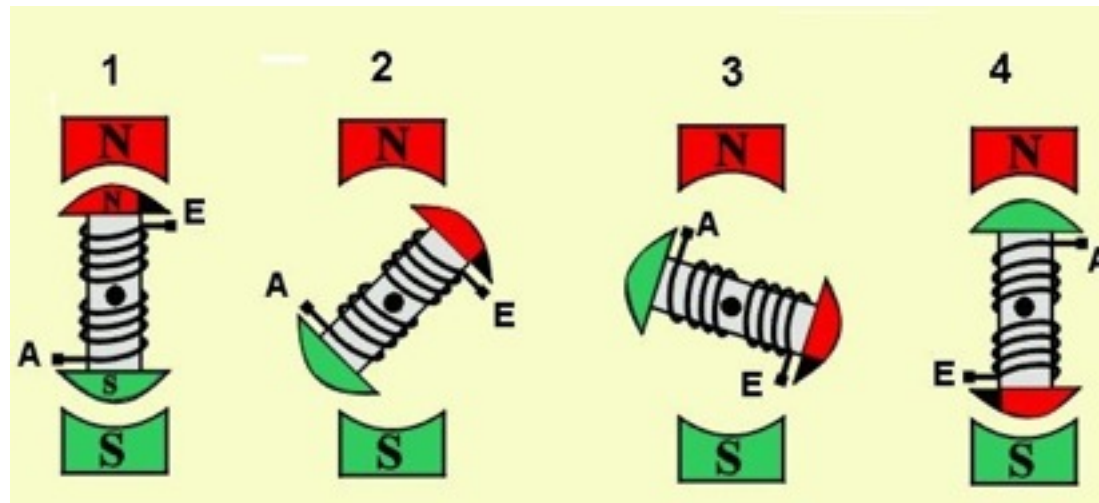
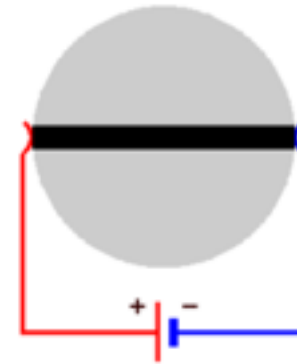


Abb. 5.20. Vektoraddition der Magnetfelder in den drei Spulen des Magnetfeldes

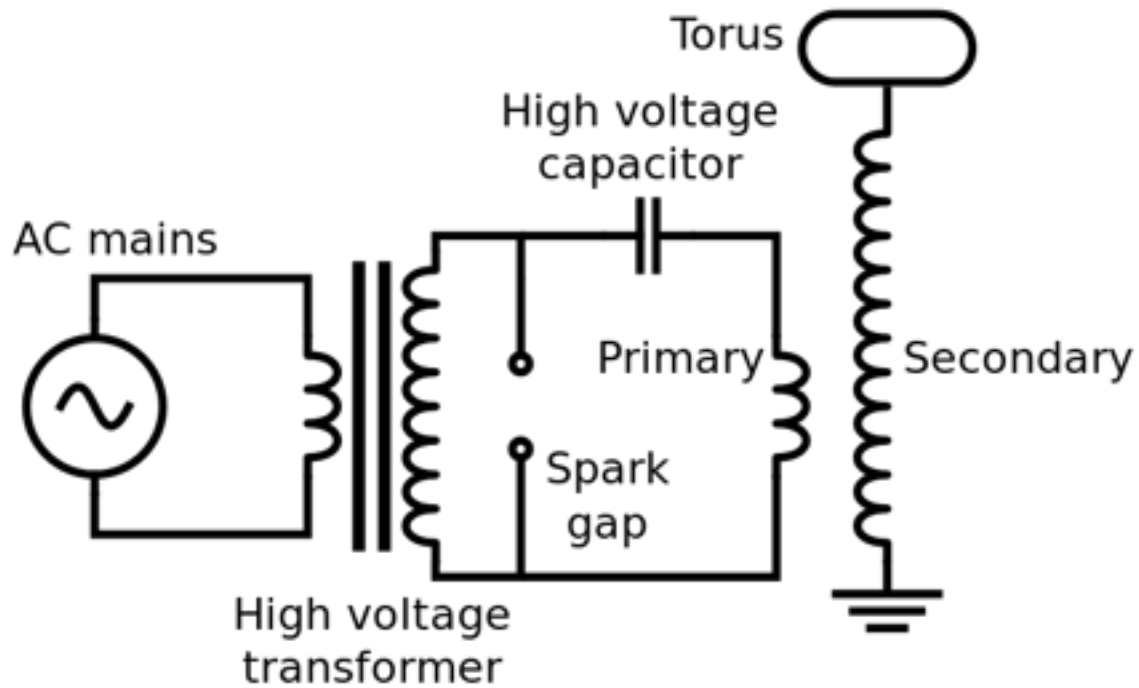
Elektromotor



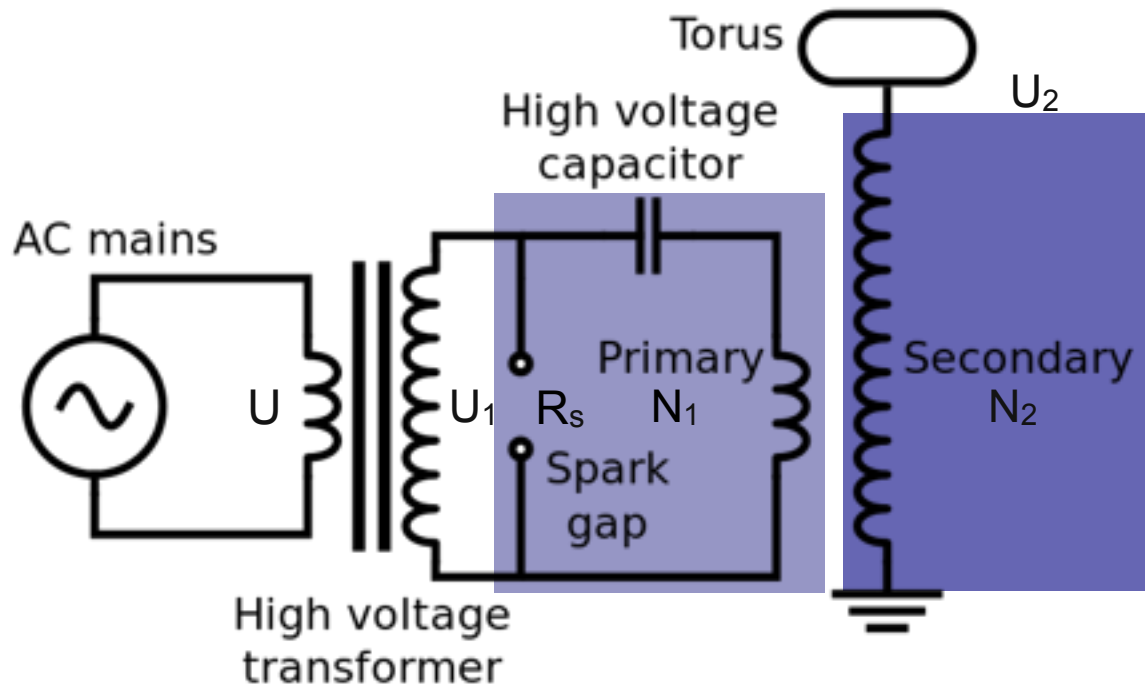
Kommutator: Polwender



Teslatrafo



Teslatrafo



1. Netzspannung U (50Hz) transformiert zu U_1 ($\sim 10\text{keV}$)
2. Kondensator lädt sich auf (in $t \sim 1/50\text{Hz} = 20\text{ms}$)
3. Sobald U_1 gross genug: Durchschlag auf "Spark gap" $\rightarrow R_s = 0$
4. Primäroszillator schwingt gedämpft ($\omega_1 = 1/(L_1 C_1)^{1/2} \sim 100\text{kHz}$)
5. Induzierte Spannung in Sekundäroszillator ($\omega_2 = 1/(L_2 C_2)^{1/2} \sim \omega_1$): $U_2 = U_1 \cdot N_2 / N_1 \sim 100\text{-}1000\text{kV}$
6. Sobald Schwingung ausgeklungen: Funken erlischt. Neustart bei 1.

Teslatrafo



Teslatrafo

“Transienter” Spannungspuls gemessen an Spitze des Tesla-Trafos

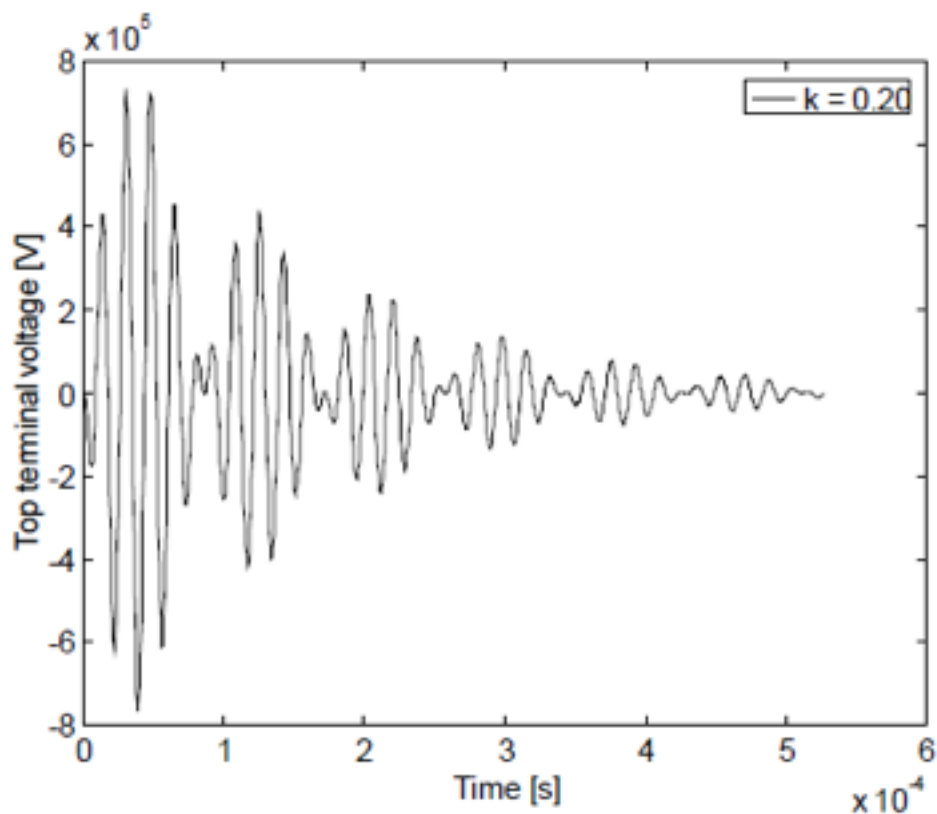
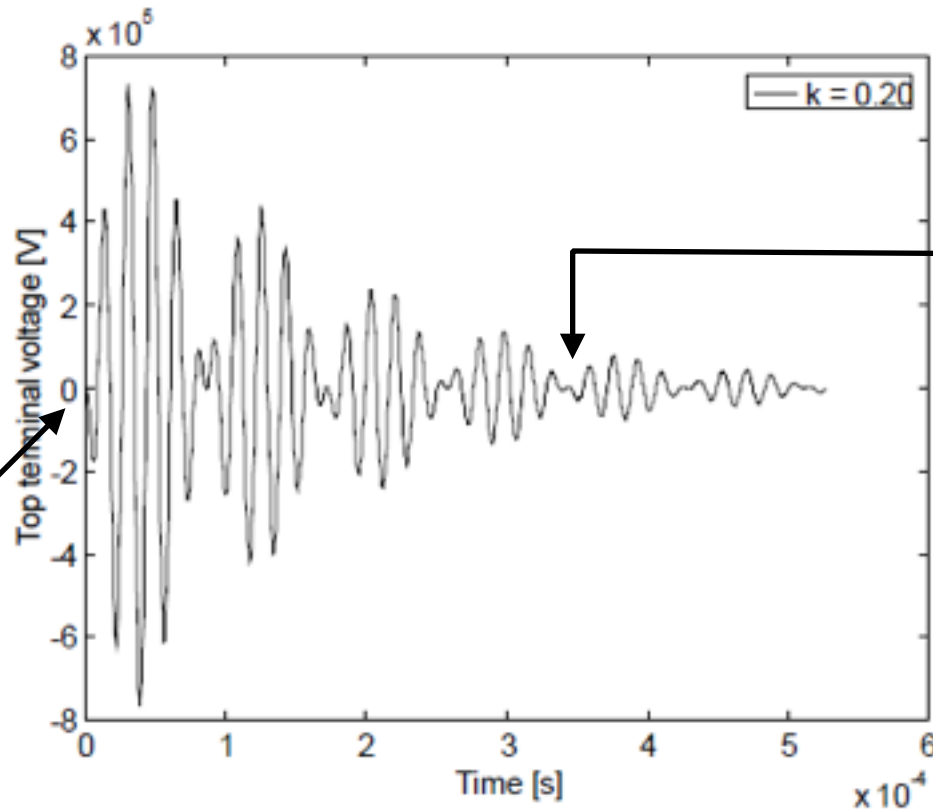


Figure 7: Top terminal voltage for a single spark gap pulse.

Teslatrafo

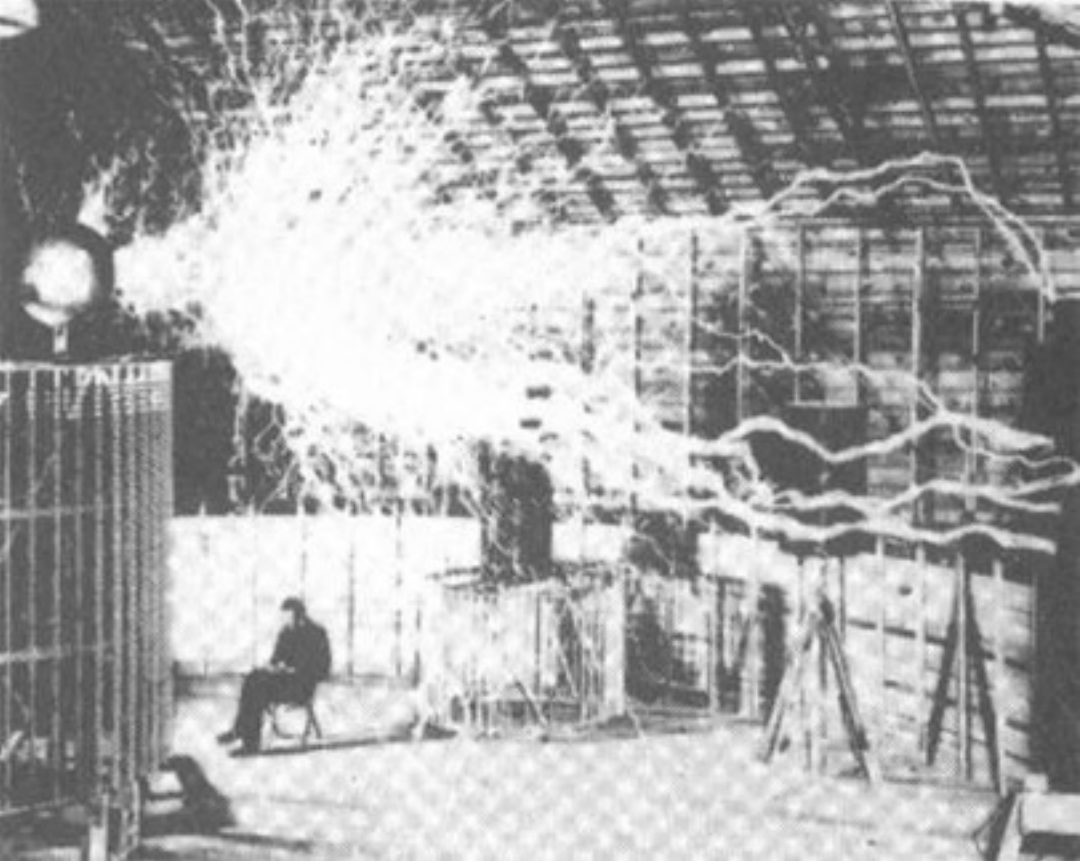
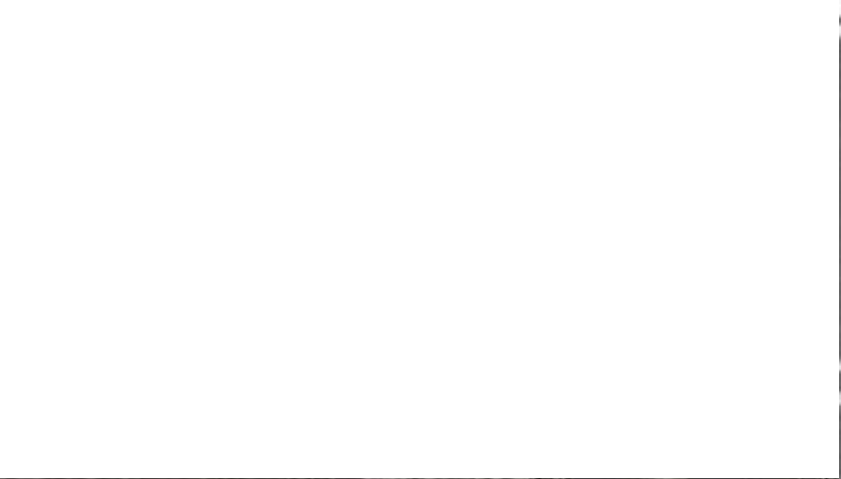
“Transienter” Spannungspuls gemessen an Spitze des Tesla-Trafos



Schwebung:
Kopplung von
Primär- und
Sekundärkreislauf

$t=0$:
Funkenstrecke
schliesst

Figure 7: Top terminal voltage for a single spark gap pulse.



Nikola Tesla

Bemerkung: Es gibt Gerüchte, dies seien Doppelbelichtungen...





RLC Schwingkreis

$$\hat{U}_L = \hat{Z}_L \cdot \hat{I} \quad , \quad \text{mit} \quad Q = \omega_0 \cdot \frac{L}{R}$$

$$\hat{U}_L(\omega = \omega_0) = i \cdot \hat{U} \cdot Q$$

$$\hat{U}_C(\omega = \omega_0) = -i \cdot \hat{U} \cdot Q$$

zeitabhängigkeit

RLC Serienschaltung

$$U_0 \cdot \cos(\omega t) - R \cdot \underline{I} - L \cdot \frac{d\underline{I}}{dt} - \frac{q}{C} = 0$$

$$I = \frac{dq}{dt}, \quad \dot{q} = \frac{dq}{dt}, \quad \ddot{q} = \frac{d^2q}{dt^2}$$

$$L \cdot \ddot{q} + R \cdot \dot{q} + \frac{q}{C} = U_0 \cdot \cos(\omega t)$$

$$\ddot{q} + \frac{R}{L} \cdot \dot{q} + \frac{q}{LC} = U_0 \cdot \cos(\omega t)$$

LC Schwingkreis

